

纳米钒酸铋的微波快速合成及光催化性能研究

刘晶冰* 张慧明 汪 浩 张文熊

(北京工业大学材料学院, 北京 100124)

摘要: 采用微波辅助加热法以 NaVO_3 溶液和 $\text{Bi}(\text{NO}_3)_3 \cdot 5\text{H}_2\text{O}$ 的硝酸溶液为反应物, 在 10~40 min 内合成了纳米钒酸铋粉末。利用 XRD、FTIR、TEM、UV-Vis 等手段研究了反应时间对产物结构及形貌的影响。经测定反应 10 min 时, 得到纯的四方相 BiVO_4 , 随着反应时间的延长, 逐渐出现单斜相的衍射峰, 当反应 40 min 时, 获得纯的单斜相 BiVO_4 。同时 XRD 和 IR 结果证明了相转变的过程。TEM 分析表明不同的反应时间条件下样品呈现不同的形貌。不同反应时间下获得样品的光催化性能的结果表明, 微波反应时间对 BiVO_4 结构的转变及光催化性能的改变起到了重要的作用。

关键词: 钒酸铋; 微波; 光催化

中图分类号: O614.5 文献标识码: A 文章编号: 1001-4861(2008)05-0777-04

Nanocrystalline BiVO_4 : Preparation by Microwave Irradiation and Photocatalytic Properties

LIU Jing-Bing* ZHANG Hui-Ming WANG Hao ZHANG Wen-Xiong

(College of Materials Science and Engineering, Beijing University of Technology, Beijing 100124)

Abstract: Nanocrystalline BiVO_4 powders were prepared from aqueous $\text{Bi}(\text{NO}_3)_3$ and NaVO_3 solution by a rapid microwave-assisted method with accurate controlled of microwave irradiation time. The properties of the synthesized BiVO_4 powders were investigated by XRD, FTIR, TEM and UV-Vis. When heating 10 min by microwave, pure tetragonal BiVO_4 can be obtained. The highly crystalline phases converted irreversibly from tetragonal to monoclinic BiVO_4 with prolonged irradiation time. When heating above 40 min by microwave, pure monoclinic BiVO_4 can be obtained. X-ray diffraction and FTIR measurements proved the phase transition of BiVO_4 . These variations in phase structures result in different photocatalytic properties under visible light.

Key words: BiVO_4 ; microwave; photocatalytic

0 引言

从 20 世纪 70 年代起, BiVO_4 以其优越的技术性能受到各国学者越来越广泛的关注。人们发现 BiVO_4 不但具有铁弹性^[1], 同时还具有声光转换性、离子导电性等特性^[2], 因此在离子导电陶瓷领域具有良好的应用前景。同时研究发现, 具有白钨矿结构(单斜晶系)的 BiVO_4 在可见光照射下表现出极好的

催化活性。 BiVO_4 比典型的光催化剂 WO_3 (禁带 2.8 eV)具有更高放氧活性, 在 450 nm 处的量子效率可以达到 9%。这使得 BiVO_4 在可见光催化领域的研究越来越受到重视^[3]。很多制备技术包括固态反应法^[1], 液相合成法^[3], 水热法^[4], 超声化学法等都曾用来制备 BiVO_4 粉体。但这些合成方法反应时间较长、反应设备较复杂。因此开发一种环境友好的快速合成工艺是十分必要的。微波合成是把某些能够被

收稿日期: 2007-12-10。收修改稿日期: 2008-02-24。

国家自然科学基金(No.50602002)资助项目。

*通讯联系人。E-mail: liujingbing@bjut.edu.cn

第一作者: 刘晶冰, 女, 29 岁, 博士, 副教授; 研究方向: 无机功能材料。

微波介电加热的物质置于微波场中进行加热，使之发生反应，从而得到所需产品的一种新技术。微波合成技术能够在短时间、低温下合成纯度高、粒度细的功能粉末，已引起广泛重视。本工作采用微波辅助加热法以预先配置好的 NaVO_3 溶液和 $\text{Bi}(\text{NO}_3)_3 \cdot 5\text{H}_2\text{O}$ 的乙酸溶液为反应物 10~40 min 内合成了纳米钒酸铋粉末。利用 XRD、FTIR、TEM 等手段研究了反应时间对产物结构及形貌的影响，同时也研究了所得产物的光催化特性。此方法不仅可实现 BiVO_4 样品的快速合成，而且可通过微波辐照时间系统调变其晶相组成。

1 实验部分

实验中所用的化学试剂均为分析纯。将 V_2O_5 按 Na/V 物质的量比 1:1 溶入 NaOH 溶液($1 \text{ mol} \cdot \text{L}^{-1}$)中，制得 NaVO_3 溶液，将 $\text{Bi}(\text{NO}_3)_3 \cdot 5\text{H}_2\text{O}$ 溶于浓硝酸中。分别向上述两种溶液中，添加十六烷基三甲基溴化铵(CTAB)。将上述两种溶液按照 $n_{\text{V}}/n_{\text{Bi}}$ 为 1:1 混合搅拌均匀，制成 BiVO_4 的前驱体。将前驱体放入微波炉中(Galanz WP 700, 700 W)，在 17% 额定输出功率(约为 119W)下加热 10~40 min 后，冷却，用去离子水洗涤、干燥。

采用 X 射线衍射仪(XRD, Bruker Advance D-8, $\text{Cu K}\alpha$ 辐射, $\lambda=0.15406 \text{ nm}$, 石墨单色器, 加速电压为 40 kV, 电源电流为 40 mA)、红外分光光度计(FTIR, Nicolet Magna-IR 560 spectroscopy)、透射电镜(TEM, JEOL Ltd. JEM-2010)、紫外-可见分光光度计(UV-Vis DRS, Shimadzu UV-3101PC)等手段对产物的晶体结构、红外光谱、表面形貌等性能进行测试。

BiVO_4 粉体的光催化实验是在自行组装的可见光辐射装置上进行。采用 300 W 的 Xe 灯进行可见光辐射。基质溶液为 AgNO_3 水溶液，初始浓度为 $0.05 \text{ mol} \cdot \text{L}^{-1}$ ，在 150 mL 溶液中分别加入 0.5 g 的纯四方相和纯单斜相的 BiVO_4 粉体。充分搅拌后，置于 Xe 灯下进行照射，照射时间定为 150 min，每隔 30 min 测定产氧量，产生的气体通过气相色谱分析。采用岛津 GC-14C 型气相色谱仪检测光催化反应气相产物成份，其分析条件：色谱柱固定相为 0.5 nm 的分子筛(60~80 目，即 177~250 μm)，内径为 3 mm，不锈钢柱长 2 m，柱温 60 °C，进样口温度 55 °C，载气为氮气，柱头压为 90 kPa，检测器为 TCD，检测器温度 60 °C。

2 结果与讨论

图 1 为微波处理反应不同时间(10、20、30、35 和 40 min)后所得产物的 X-射线衍射图。从 XRD 衍射图中可以看出：微波处理时间为 10 min 时，样品的衍射谱与四方锆石型 BiVO_4 (PDF-2 标准卡 No.14-0133)的标准谱完全重合，所得的样品为纯的 BiVO_4 四方相；当反应时间为 20 min 时，已经出现单斜相白钨矿结构的 BiVO_4 衍射峰(PDF-2 标准卡 No.14-0688)，并且随着反应时间的延长，单斜相 BiVO_4 衍射峰的强度随之增强，而四方相 BiVO_4 衍射峰逐渐消失；当反应时间为 40 min 时，图中只出现单斜相的 BiVO_4 衍射峰，所得的样品为纯的 BiVO_4 单斜相，并且结晶性良好。由此可以看出，在反应初始阶段，先生成四方相的 BiVO_4 ，随着微波处理时间的延长，四方相的 BiVO_4 逐渐向单斜相的 BiVO_4 转变，并最终形成纯的单斜相。可见，在微波合成 BiVO_4 的反应过程中，反应时间对于控制 BiVO_4 的相结构起到了关键的作用。与其它的化学法合成 BiVO_4 粉体相比^[3~7]，本实验所采用的微波合成技术能够在短时间、低温下合成纯度高的 BiVO_4 粉体，并且能够通过调节反应时间，来控制合成纯的四方相和单斜相，合成方法十分简单，是一种环境友好的快速合成工艺。

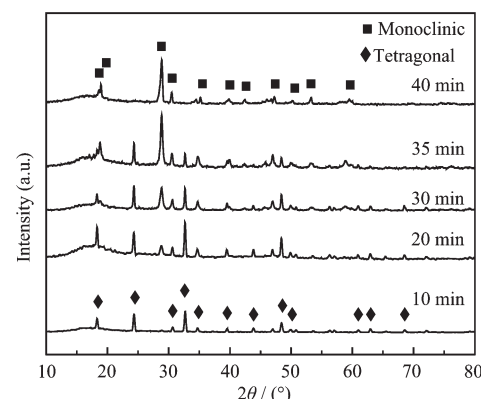


图 1 不同微波处理时间后所得 BiVO_4 粉体的 XRD 图

Fig.1 XRD patterns of the BiVO_4 powders as-prepared at different microwave irradiation times

采用傅立叶转换红外光谱仪对不同反应时间所得的 BiVO_4 样品进行测试，取波数为 $400\sim2000 \text{ cm}^{-1}$ 的范围(如图 2 所示)。其结果显示，当反应时间为 10 min 时，主吸收谱带位于 780 cm^{-1} 处，标定为 VO_4^{3-} 的 V-O 振动峰，这与四方相 YVO_4 的 V-O 振动峰相似^[8]。在波数为 470 cm^{-1} 附近还发现了 $\text{Bi}-\text{O}$ 振

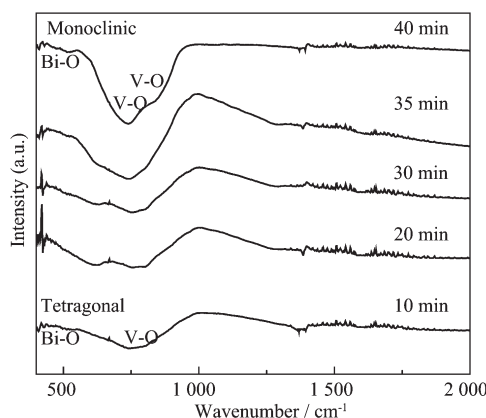


图2 不同微波处理时间后所得 BiVO_4 粉体的 FTIR 图

Fig.2 FTIR spectra of BiVO_4 powders prepared at different microwave irradiation times

动峰。随着反应时间的延长,单斜相 BiVO_4 的红外特征峰也出现了,其中主吸收谱带位于 843 cm^{-1} 和 736 cm^{-1} 处,分别标定为 $\nu_1(\text{VO}_4)$ 和 $\nu_3(\text{VO}_4)$ 即 VO_4^{3-} 的对称伸缩振动(ν_1)和变形弯曲振动(ν_3)^[9]。可见,随着反应时间的延长,四方相特征峰逐渐减弱,并向单斜相特征峰位漂移。这些红外结果再次证明了本实验中 BiVO_4 的相转变过程。

图3为利用微波液相合成法所获得的纯四方相和纯单斜相的 BiVO_4 样品的透射电子显微图像。我们可以看到,四方相的 BiVO_4 样品其形貌为许多分散比较均匀、直径约为 $10\sim20 \text{ nm}$ 的球形小颗粒;而单斜相的 BiVO_4 样品则呈现片状。由此可见,采用微波辅助法合成出来的不同相结构的 BiVO_4 样品形貌相差很大。

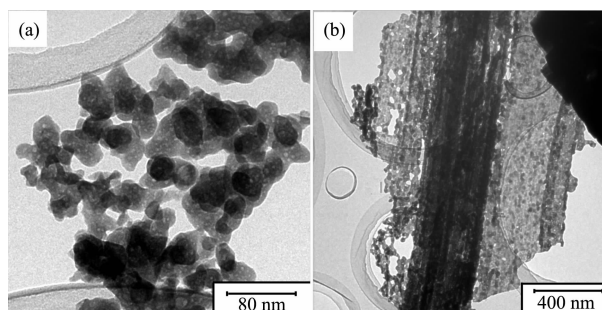


图3 BiVO_4 样品的透射电镜照片(a)四方相和(b)单斜相

Fig.3 TEM images of (a) tetragonal BiVO_4 and (b) monoclinic BiVO_4

四方相和单斜相 BiVO_4 样品的紫外-可见漫反射光谱如图4所示。从图中我们可以看出:四方相 BiVO_4 吸收边为 428 nm ,根据吸收边估算四方相 BiVO_4 的带隙约为 2.9 eV ,在紫外-可见区有吸收带;

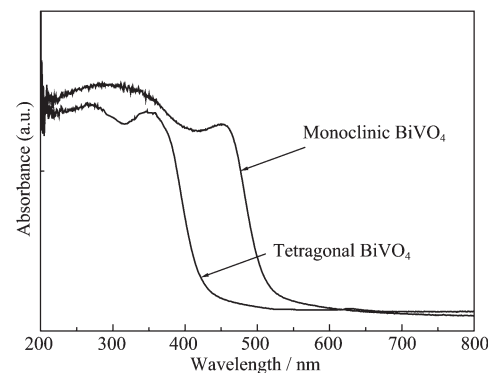


图4 四方相和单斜相 BiVO_4 样品的紫外-可见漫反射光谱

Fig.4 Whole UV-Vis DRS spectra of tetragonal BiVO_4 and monoclinic BiVO_4

单斜相 BiVO_4 吸收边为 517 nm ,带隙约为 2.4 eV ,在可见光区可看到出现明显的特征吸收峰,因此单斜相白钨矿结构的 BiVO_4 具有良好的可见光催化性能。

图5为微波合成的四方相和单斜相 BiVO_4 样品在可见光辐射下分解 AgNO_3 水溶液产氧的活性。从图中可以看出,相结构能够影响 BiVO_4 催化剂的光催化活性。很明显的看出,单斜相的 BiVO_4 在可见光辐射下分解 AgNO_3 水溶液产氧量远远大于四方相的 BiVO_4 。虽然四方锆石型和单斜白钨矿型 BiVO_4 的晶体结构比较接近,然而两者的光催化活性却有着很大的区别。这是因为四方相 BiVO_4 和单斜相 BiVO_4 的禁带宽度分别为 2.9 和 2.4 eV ,前者主要在紫外光区($300 < \lambda < 380 \text{ nm}$)有吸收带,后者除在紫外光区有吸收带外,在可见光区($\lambda > 420 \text{ nm}$)亦有明显

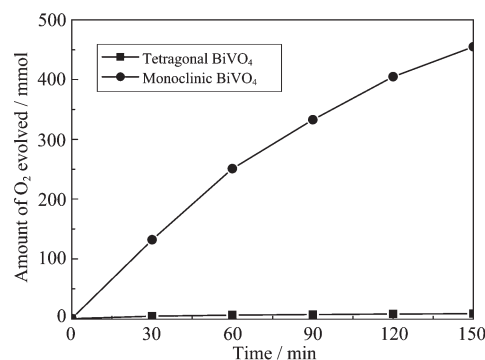


图5 四方相和单斜相 BiVO_4 样品可见光辐射下分解 AgNO_3 水溶液产氧的活性

Fig.5 Potocatalytic O_2 evolution from AgNO_3 solutions under visible light irradiation on tetragonal BiVO_4 and monoclinic BiVO_4

的吸收带。这是 Bi^{3+} 6s 轨道上的孤对电子致使 Bi-O 的部分形变所造成的^[3]。四方相 BiVO_4 和单斜相 BiVO_4 紫外区的吸收主要是借助于电子从 $\text{O}2p$ 轨道跃迁到 $\text{V}3d$ 轨道, 而可见光的吸收则是借助于电子从 $\text{Bi}6s$ 轨道或者 $\text{Bi}6s$ 和 $\text{O}2p$ 的杂化轨道跃迁到 $\text{V}3d$ 轨道。

3 结 论

采用微波辅助加热合成出结晶性良好的 BiVO_4 纳米粉体。反应时间对所得产物的结构、形貌及光催化性能起了很重要的影响。本实验条件下, 微波反应时间越长越有利于单斜相 BiVO_4 的制备。与其他合成方法相比, 反应时间大大缩短, 提高了合成效率。并且能够通过调节反应时间, 来控制合成纯的四方相和单斜相, 合成方法十分简单, 是一种环境友好的快速合成工艺。

参考文献:

- [1] Bierlein J D, Sleight A W. *Solid State Commun.*, **1975**, **16**: 69~70
- [2] Harota K, Komatsu G, Yamashita M, et al. *Mater. Res. Bull.*, **1992**, **27**: 823~830
- [3] Kudo A, Omori K, Kato H. *J. Am. Chem. Soc.*, **1999**, **121**: 11459~11467
- [4] Liu J B, Li K W, Wang H, et al. *Chem. Phys. Lett.*, **2004**, **396**: 429~432
- [5] Bhattacharya A K, Mallick K K, Hartridge A. *Mater. Lett.*, **1997**, **30**: 7~13
- [6] Lim A R, Choh S H, Jang M S. *J. Phys. Condens. Matter.*, **1995**, **7**: 7309~7323
- [7] Roth R S, Waring J L. *Am. Miner.*, **1963**, **48**: 1348~1356
- [8] Sun Y J, Liu H J, Wang X, et al. *Chem. Mater.*, **2006**, **18**: 2726~2732
- [9] Frost R L, Dermot A, Henry M L, et al. *J. Raman Spectrosc.*, **2006**, **37**: 722~732